

コード修正履歴情報を用いた修正漏れの自動検出

肥後 芳樹^{1,a)} 楠本 真二^{1,b)}

受付日 2012年9月27日, 採録日 2013年2月1日

概要: バグ修正や機能追加のためにソースコードを修正する場合は, 修正が必要なすべてのコード片を把握する必要がある. 修正の必要があるコード片を見落としてしまうと, ソースコード中に修正漏れが発生してしまう. 修正前であれば, `grep` 等のキーワード検索ツールを用いることにより, 修正が必要なコード片を見落とす可能性は低くなる. しかし, すでに発生した修正漏れに対しては, キーワード検索ツールでは十分な支援を得られない. 本論文では, ソースコード中において修正漏れが発生しているコード片を自動的に検出する手法を提案する. 提案手法は, 過去のコード修正に関する情報を学習データとして利用する. そして, 最新バージョンに対して学習データが適用できる箇所を検索することにより, 修正漏れを検出する. 提案手法を実装し, オープンソースソフトウェアに対して実験を行った. その結果, バグ修正漏れ, リファクタリング実施漏れ, 機能変更・機能追加漏れ, コメント修正漏れが発生しているコード片を多数検出できた.

キーワード: コード修正支援, リポジトリマイニング

Automatic Detection of Unintentionally Unmodified Code Using Code Modification Histories

YOSHIKI HIGO^{1,a)} SHINJI KUSUMOTO^{1,b)}

Received: September 27, 2012, Accepted: February 1, 2013

Abstract: When we modify source code for performing a given bug fix or functional addition, we must recognize all the code fragments to be modified. If not, unintended inconsistencies occur in the source code. Before modifying the source code, keyword-based search tools like `grep` are suitable for preventing the code fragments from being overlooked. However, once inconsistencies occur in the source code, such tools cannot help us adequately. In this paper, we propose a new method to identify unintended inconsistencies in source code automatically. The proposed method analyzes source code modifications in a repository to derive modification patterns. A modification pattern indicates what kind of code it had been and how it was modified. The derived modification patterns are queries to identify unintended inconsistencies from the latest version of source files. We implemented the proposed method as a software tool and applied it to HTTPD and FreeBSD. As a result, we identified many overlooked code fragments for bug fixes, refactorings, functional enhancements, and code comments.

Keywords: code modification support, repository mining

1. はじめに

バグ修正や機能追加を行う場合には, ソースコード中の修正が必要なすべてのコード片を把握する必要がある. も

しそれらを見落とすと修正漏れが発生してしまう. その修正漏れは後にフォールトの原因となり, システムの可用性を下げるばかりではなく, 修正漏れのコード片を特定し修正するためのコストも必要になる.

ソースコードの修正前であれば, `grep` 等のキーワード検索ツールやクローン検出ツールを用いることにより, 修正が必要なコード片を見落とす可能性は低くなる. 泉田らは, オープンソースソフトウェアのバッファオーバーフロー

¹ 大阪大学大学院情報科学研究科
Graduate School of Information Science and Technology,
Osaka University, Suita, Osaka 565-0871, Japan

a) higo@ist.osaka-u.ac.jp

b) kusumoto@ist.osaka-u.ac.jp

の修正を題材に、修正が必要なコード片の見逃し防止対策として、grep とクローン検出ツールが有効であることを示した [4]。また、森崎らは、国内の企業が開発したシステムに対してクローン検出ツールを適用し、それがコード片の見逃し防止対策として有効であることを示した [8]。しかし、それらのツールは、すでに発生している修正漏れについては十分に支援できない。

- grep を利用するには検索対象キーワードが必要である。しかし、どのコード片において修正漏れが発生しているのか不明なため、キーワードの指定ができない。
- クローン検出ツールを用いれば、コピーアンドペースト後における変数名の置換漏れ等の軽微な修正漏れを検出できる [7]。しかし、文の追加・削除等の大きな単位の修正漏れは検出が難しい。また、クローンとして検出されるためには、コード片が一定以上の大きさで類似している必要がある。

本論文では、開発履歴をマイニングすることにより、修正漏れが発生しているコード片を検出する手法を提案する。提案手法は、grep やクローン検出ツールの問題点を解決しており、以下の特徴を持つ。

- 字句単位の修正漏れ（変数やリテラルの置換漏れ）だけでなく、文単位の修正漏れ（文の追加・削除漏れ）も検出可能。
- 修正漏れのコード片がある程度以上の大きさの重複コードである必要がない。
- ソースコードの深い解析を必要とせず、複数のプログラミング言語への展開が容易。
- スケーラビリティが高く、数百万行規模のソフトウェアであっても数十分程度で解析可能。

提案手法をツールとして実装し、HTTPD と FreeBSD

に適用し、以下の結果を得た。

- 多くのリビジョンにおいて修正漏れが存在していること、および、それらの多くは後に修正が加えられ、修正漏れではなくなることが分かった。
- 1つのバージョンに着目した場合に、それまでの開発履歴から得た学習データを用いて多数の修正漏れを自動的に検出できた。

2. 研究の動機

図 1 は、HTTPD のソースコードである。このソースコードでは、356 行目、382 行目、1,085 行目、1,315 行目に同様の命令がある。リビジョン 83,956 において、そのうちの 3 つ（356 行目、382 行目、1,085 行目）が変更されている。その後、リビジョン 83,960 において、1,315 行目にも同様の修正が行われている。リビジョン 83,960 のコミットログには、修正漏れがあったことを表す文章が記述されている。このことから、これら 4 つのコード片は同時に同様の修正がされるべきであったが、開発者がこのうちの 1 つを見落としていたことが分かる。この例で示したように、複数のコード片に対して同様の修正を行う必要がある場合に、開発者が修正すべきすべてのコード片を把握しているとは限らない。

そこで、本論文では、下記のリサーチクエスチョンを設定する。

RQ1 同時に行われていない同様の修正がどの程度存在するのか。

修正すべきコード片を特定した場合に、grep 等のキーワード検索ツールを用いれば、他の修正すべき箇所を列挙できるため、修正漏れが発生する可能性が低くなる。しかし、すでに発生している修正漏れについては、grep で支援

```

:
354
355 for (lr = head_listener; lr ; lr = lr->next) {
356     ap_get_os_sock(lr->sd, &nsd);
357     if (FD_ISSET(nsd, main_fds)) { 83,956
358         head_listener = lr->next;
:
380     num_listeners++;
381     if (lr->sd != NULL) {
382         ap_get_os_sock(lr->sd, &nsd); 83,956
383         FD_SET(nsd, &listenfds);
384         if (listenmaxfd == INVALID_SOCKET || nsd > listenmaxfd) {
:
1083 /* Associate each listener with the completion port */
1084 for (lr = ap_listeners; lr != NULL; lr = lr->next) {
1085     ap_get_os_sock(lr->sd, &nsd); 83,956
1086     CreateIoCompletionPort((HANDLE) nsd, //(HANDLE)lr->rd,
1087                          AcceptExCompPort,
:
1313     ap_log_error(APLOG_MARK, APLOG_NOERRNO | APLOG_INFO, server_conf,
1314                 "Parent: Duplicating socket %d and sending it to child process %d.", lr->sd );
1315     ap_get_os_sock(lr->sd, &nsd); 83,960
1316     if (WSADuplicateSocket(nsd,
1317                          pi.dwProcessId,
:

```

図 1 server/mpm/winnt/mpm_winnt.c の一部 (リビジョン 83,955)
 Fig. 1 A part of server/mpm/winnt/mpm_winnt.c (revision 83,955).

を得ることは難しい。

クローン検出手法を用いて修正漏れを検出する方法が提案されている [7]。この手法ではクローンを検出し、そこに含まれている変数の対応関係を調べる。対応関係がとれていないクローンが修正漏れの候補としてユーザに提示される。この手法はクローンに含まれる修正漏れを提示するが、クローンとして検出されないコード片については修正漏れを指摘できない。図 1 では、修正を行うべき 4 つの行はクローンであるが、その前後の行は重複していない。つまり、1 行のみの小さなクローンが 4 つ存在している。クローン検出ツールの設定を変更することで、このような小さいクローンを検出することは可能である。しかし、そのような小さいクローンの検出を行った場合、多量のクローンが検出されてしまうため、検出されたクローンを調査する負荷が大きい。さらには、修正内容が図 1 に示すような変数名の変更ではなく、文の追加や削除といったより大きな変更だった場合は、クローンとして検出されない。

本論文では、開発履歴をマイニングすることにより修正漏れコード片とその修正方法を提示する手法を提案する。たとえば、図 1 の場合では、リビジョン 83,955 から 83,956 への修正をマイニングすることにより、下記の変更が 3 回起こったことが分かる。

```
ap_get_os_sock(lr->sd, &nsd);
↓
ap_get_os_sock(&nsd, lr->sd);
```

この情報を用いることにより、リビジョン 83,956 以降では、ソースコード中に “ap_get_os_sock(lr->sd, &nsd);” が存在した場合には、“ap_get_os_sock(&nsd, lr->sd);” に変更すべきである、という提示ができる。

また、提案手法の有効性を調査するために、下記のリサーチクエスチョンを設定する。

RQ2 開発履歴をマイニングすることにより、どの程度の修正漏れを検出できるか。

3. 関連研究

修正漏れを検出する方法として、クローン検出技術を用いた手法が提案されている。クローン検出技術は、ソースコード中の変数やリテラル等の違いを吸収したうえで、同形のコード片をクローンとして検出する。そのため、そのような字句単位の違いを含んでいても同時に修正すべきコード片として提示できる。

泉田らは、コード片を入力として受け取り、そのコード片のクローンを対象システムから検索するツールを開発した [4]。このツールは、バグ修正時において、修正すべきコード片を特定した後に、そのコード片を入力として与えることにより、同様の修正が必要な他のコード片を検出す

る。彼らはオープンソースにおけるバッファオーバーフローの修正事例に対してこのツールを適用し、クローン検索が漏れない修正支援に有効であることを示した。また、森崎らは国内の企業で開発された 3 つのシステムに対して、泉田らが開発したツールを適用した [8]。その結果、平均で 78.6% の適合率、87.4% の再現率を得ることができ、類似不具合発見においてクローン検出技術が有効であることを示した。

Li らは、クローン検出ツール CP-Miner を開発した [7]。CP-Miner は、変数やリテラルの違いを無視したうえで、クローンを検出する。そして、検出したクローンの各ペアについて、その中に存在する変数の対応関係を調べる。たとえば、クローン A と B がペアになっている場合を考える。クローン A では、変数 a が 3 回参照されている。一方、クローン B では、変数 a が 1 回、変数 b が 2 回参照されている。このような場合は、B における変数 a の参照は、変数 b への修正漏れであると認識し、修正漏れを含むクローンのペアとしてユーザに提示する。彼らは Linux や FreeBSD 等 4 つのオープンソースソフトウェアに対して CP-Miner を適用し、計 87 個のバグを発見した。

Göde らは、クローンに対する修正の頻度を調査した [2]。実験対象は、3 つのオープンソースソフトウェアである。彼らは、ほとんどのクローンは修正はたかだか 1 回しか修正されていないことを示した。また、クローンにおける修正漏れは全体の 14.8% であり、さらにバグに直結している修正漏れは全体の 3% であるとの結果であった。彼らの調査では、クローンとして検出されたコード片のみが調査対象であり、クローンとして検出されていないコード片については、調査は行っていない。

Rahman らは、バグとクローンの関係を調査している [9]。彼らは過去のバグ修正において修正されたコード片のうちのどの程度がクローンであったかを調査した。彼らの実験対象ソフトウェアでは、すべてのバグ修正のうちの 80% 以上がまったくクローンを含まないコード片に対して行われていた。

Bettenburg らは、リビジョンではなくバージョンレベルでのクローン間の修正漏れ調査を行っている [1]。すべてのクローンが長期間存在しているわけではない [6]。そのため、ユーザが実際に利用するバージョン単位でクローンの修正漏れの調査を行うことにより、ユーザに影響を与えるバグの調査が行える。彼らは 3 つのオープンソースに対して実験を行い、たかだか 4% のクローンのみが修正漏れによるバグを引き起こしていることを明らかにした。

2 章で示したように、クローンとして検出されないコード片についても修正漏れは発生する。提案手法を用いた実験を行うことにより、Göde ら、Rahman ら、Bettenburg らの調査結果を補える。

Ying らは、開発履歴情報を分析することにより、同時に

修正されることが多いファイル群を特定している [11]. そして, バグ修正等を行う場合に, その情報を用いて同時に修正すべきファイル群を推薦する. 彼らは, 2つのオープンソースプロジェクトに対して実験を行った. 推薦の適合率と再現率は高くても 50%程度であったが, 静的解析や動的解析では特定できないファイルを特定できた.

4. 提案手法

4.1 概要

本論文では, ソースコード中に存在する修正漏れを自動的に検出する手法を提案する. 提案手法は, 開発履歴を解析するマイニング処理と対象ソースコードから修正漏れを検出する検出処理から構成されている. まず, 4.2 節で提案手法で利用する用語の定義を行う. 次に, 4.3 節でマイニング処理, その後, 4.4 節で検出処理について述べる. なお, 提案手法は, CVS や Subversion 等のバージョン管理システムで管理されているソフトウェアを前提としている.

4.2 用語の定義

まず, コード片を定義する.

定義 1 (コード片) ソースファイル中の一部分を表す, 長さが 0 以上の文字列である. □

修正パターンは, どのようなコード片が, いつ, どのようなコード片に修正されたのかを表す. 以下に定義を示す.

定義 2 (修正パターン) 修正前のコード片を CF_{before} , 修正後のコード片を CF_{after} , 修正が行われたリビジョンを r とした場合, その修正パターンを, $(CF_{before}, CF_{after}, r)$ で表す. □

修正は, 追加, 削除, 変更に分類される. 表 1 に, その分類と修正前コード片, 修正後コード片の長さの関係を示す.

次に, 修正パターンの支持度を定義する.

定義 3 (支持度) 修正パターンの出現回数を表す値である. 2つの修正パターン $MP_1 = (CF1_{before}, CF1_{after}, r_1)$, $MP_2 = (CF2_{before}, CF2_{after}, r_2)$, があつた場合に, $CF1_{before} = CF2_{before} \wedge CF1_{after} = CF2_{after}$ が真になれば, MP_1 と MP_2 は同じ修正パターンと定義される. よって, MP_1 や MP_2 が表す修正パターンの出現回数は 2 回となる. もし, MP_1 と MP_2 が同じでない場

表 1 追加, 削除, 変更とその前後のコード片の長さの関係

Table 1 Length of added, deleted, and changed code fragments.

修正の分類	修正前コード片 (CF_{before}) の長さ	修正後コード片 (CF_{after}) の長さ
追加	$CF_{before} == 0$	$CF_{after} > 0$
削除	$CF_{before} > 0$	$CF_{after} == 0$
変更	$CF_{before} > 0$	$CF_{after} > 0$

合は, それぞれの修正パターンは 1 回ずつ出現したことになる. □

次に, 修正パターンの確信度を定義する.

定義 4 (確信度) 修正前コード片から, 修正後コード片が生成される確率である. 修正パターンの集合が与えられたときに, それらの中で修正前コード片が CF_{before} である修正パターンの数を n とする. また, それらのうち, 修正後コード片が CF_{after} である修正パターンの数を m とする. このとき, 修正前コード片が CF_{before} , 修正後コード片が CF_{after} である修正パターンの確信度は, $\frac{m}{n}$ で表される. なお, 1 種類の修正前コード片は複数種類の修正後コード片に変化しうするため, $m \leq n$ となる. □

4.3 マイニング処理

マイニング処理の入力と出力を以下に示す.

入力 対象ソフトウェアのリポジトリ, 支持度と確信度のしきい値

出力 修正パターン群

マイニング処理は下記の手順からなる.

手順 1 ソースファイルが修正されたりビジョン群の特定.

手順 2 特定したリビジョン群から修正パターンを抽出.

手順 3 抽出した修正パターンの支持度と確信度を計算し, しきい値を満たすものを出力.

手順 1 では, 少なくとも 1 つのソースファイルが修正されたりビジョンを特定する. リポジトリでは, ソースコードに加えてドキュメント等の成果物も管理されている. そのため, すべてのリビジョンでソースコードが修正されているわけではない. そのようなリビジョンは修正パターンの抽出対象とはならない. バージョン管理システムは, 指定したリビジョンで修正されているファイル一覧を表示する機能を持つ. この機能により表示されたファイルの拡張子を調査することにより, マイニング処理が必要であるリビジョン群の特定を行える.

手順 1 において, n 個のリビジョン $\{r_1, r_2, \dots, r_n\}$ でソースファイルが修正されていた場合, 手順 2 では, r_1 と r_2 , r_2 と r_3 , \dots , r_{n-1} と r_n の間の差分を取得する. 取得した差分に現れているコードが, 修正パターンの修正前コード片と修正後コード片である. 図 2 は, 修正前後のソースコードとその差分を diff コマンドを用いて出力した様子を表している. この例の場合だと図 2(c) の “3,4c3,4”, “7,8d6”, “11a10,11” の 3 つが修正パターンとして抽出される.

すべての修正パターンを抽出した後に, 手順 3 では, 抽出した修正パターンの支持度と確信度を計算する. 支持度と確信度がともにしきい値を満たす場合, その修正パターンは出力される.

<pre>1: A 2: B 3: changing 1 4: changing 2 5: C 6: D 7: deleting 1 8: deleting 2 9: E 10: F 11: G 12: H</pre>	<pre>1: A 2: B 3: changed 1 4: changed 2 5: C 6: D 7: E 8: F 9: G 10: added 1 11: added 2 12: H</pre>	<pre>3,4c3,4 < changing 1 < changing 2 ---- > changed 1 > changed 2 7,8d6 < deleting 1 < deleting 2 11a10,11 > added 1 > added 2</pre>
---	---	--

図 2 修正前ソースファイル, 修正後ソースファイル, diff コマンドを用いたそれらの間の差分出力

Fig. 2 Source files before and after a modification, and diff output between them.

4.4 検出処理

まず, 検出処理の入力と出力を以下に示す.

入力 対象リビジョンのソースファイル群, 修正パターン群 (マイニング処理の出力), 一致箇所数のしきい値
 出力 対象リビジョンのソースファイル中における修正漏れ候補とその修正方法

一致箇所数とは, 1つの修正パターンによって検出されたコード片 (修正漏れ候補) の数である. たとえば, 多くのコード片が1つの修正パターンによって検出された場合は, それらは修正漏れとは考えにくい. 過去に修正されたコード片と同形のコード片が, 修正前の状態で対象ソースファイルに存在していることは事実であるが, それらは意図的にその状態であると考えられる. このような誤検出 (意図的に修正を行っていないコード片の検出) を抑えるために, 一致箇所数にしきい値を設ける. たとえ修正漏れ候補のコード片が見つかった場合でも, そのしきい値以上の数であれば, それらは検出処理において出力されない.

検出処理では, 入力として与えられた各修正パターンの修正前コード片を用いて対象リビジョンのソースファイルに対して検索処理を行う. 一致したコード片が修正漏れの候補となる. もし, 一致したコード片が一致箇所数のしきい値以下であれば, それらは出力される. なお, その修正パターンの修正後コード片が修正方法となる.

5. 実装

提案手法をツールとして実装した. 現在のところ, 対応しているバージョン管理システムは Subversion のみである. 作成したツールの入力を以下に示す.

- 対象システムのリポジトリ
- 修正漏れコード片の検索対象ソースファイル群
- 支持度, 確信度, 一致箇所数のしきい値

出力は検出された修正パターンと修正漏れ候補である.

図 3 は出力例を表している. 図 3(a) は検出された修正パターンが記録された出力ファイルである. 各パターンには

```
319 < u_int32_t hashes[2] = { 0, 0 };
320 -----
321 > uint32_t hashes[2] = { 0, 0 };
322 ===== ID: 5751, support: 3, confidence: 1.0 =====
323 === revisions: 220829, 220829, 220829, =====
324 < device_printf(ch->dev, "SATA connect timeout status=%08x\n",
325 < status);
326 -----
327 > device_printf(ch->dev,
328 > "SATA connect timeout time=%dus status=%08x\n",
329 > timeout * 100, status);
330 ===== ID: 5853, support: 3, confidence: 1.0 =====
331 === revisions: 218184, 218184, 218184, =====
332 < return (INTR_VEC(iparent, mintr));
333 -----
```

(a) 検出した修正パターンを出力したファイル

```
166 300 * PARAMETERS: Pathname - Full pathname to the node (for error msgs)
167 > * PARAMETERS: Data - Pointer to validation data structure
168 ===== target/freesbsd/head/sys/dev/ata/sata.c =====
169 range: 130 --- 131
170 matched pattern ID: 5751
171 matched pattern: device_printf(ch->dev, "SATAconnecttimeoutstatus=%08x\n",status);
172 130 device_printf(ch->dev, "SATA connect timeout status=%08x\n",
173 131 status);
174 > device_printf(ch->dev,
175 > "SATA connect timeout time=%dus status=%08x\n",
176 > timeout * 100, status);
177 ===== target/freesbsd/head/sys/mips/mips/elf_machdep.c =====
178 range: 99 --- 99
179 matched pattern ID: 5837
180 matched pattern: SVSINIT(elf64,SI_SUB_EXEC,SI_ORDER_ANY,
```

(b) 検出した修正漏れ候補を出力したファイル

図 3 実装したツールの出力例

Fig. 3 Output example of the developed tool.

ID が振られている (322 行目). 図 3(b) は検出された修正漏れ候補が記録されたファイルである. 修正漏れ候補となったコード片を含むファイルのパス (169 行目) と行番号 (170 行目), 対応する修正パターンの ID (171 行目) 等が記録されている.

ツールからの Subversion リポジトリの操作には, SVNKit^{*1}を用いている. マイニング処理では, 更新されたファイルの特定を行うために svn log コマンドを, リビジョン間の差分取得のために svn diff コマンドを用いている. しかし, diff コマンドにより得られたコード片をそのまま用いると修正パターンの誤検出^{*2}が多数検出されてしまうため, コード片の正規化を行う. 正規化後の修正前コード片と修正後コード片を比較し, それらが同じ文字列である場合は, 修正パターンとしての抽出は行わない. 具体的には下記の手順で処理を行う.

手順 1 svn diff コマンドを用いて差分を取得.

手順 2 差分に現れている修正前後のコード片を正規化 (空白, タブ, 改行文字の削除).

手順 3 正規化後の修正前後のコード片が同一文字列でなければ, 修正パターンとして抽出.

この実装では, コード片の同値性は以下のように定義されている.

定義 5 (コード片の同値性) 2つのコード片からすべての空白, タブ, 改行文字を取り除いた後に, それらが同一文字列になるのであれば, その2つのコード片は同値である.

*1 <http://svnkit.com/>

*2 ここでの誤検出とは, 修正漏れの指摘には役に立たない修正パターンの意味である.

表 2 対象ソフトウェアの概要
Table 2 Outline of target software.

ソフトウェア	開始リビジョン (日付)	終了リビジョン (日付)	対象リビジョン数	終了リビジョン の総行数
HTTPD	81,442 (1998-06-02)	90,607 (2001-08-24)	2,784	131,675
FreeBSD	196,121 (2009-08-12)	225,533 (2011-09-14)	7,689	3,570,021

表 3 RQ1 の調査で抽出した修正パターンの内訳
Table 3 Extracted modification patterns in RQ1 investigation.

ソフトウェア	バグ修正	リファクタリング	機能変更・機能追加	コメント	合計
HTTPD	19	22	93	11	145
FreeBSD	23	39	24	8	94

6. 評価

オープンソースソフトウェアの HTTPD^{*3}と FreeBSD^{*4}に対して実験を行った。実験対象の詳細については、表 2 に示す。HTTPD の実験対象期間は、1.3.x ブランチが作成される前とした。この期間では、バージョン 1.3.0 のリリースに向けて新機能の追加とバグ修正が行われていた。FreeBSD の実験対象期間は、STABLE8 ブランチが作成されてから STABLE9 ブランチが作成されるまでの期間とした。この期間では、バージョン 9 に搭載する新機能の追加を行い、期間終了間近では、新機能の追加は凍結され、安定化のためのバグ修正のみを行うという開発プロセスがとられていた。これらの期間に存在しており、かつ、1つ以上の.c ファイルが更新されている 2,784 個のリビジョン (HTTPD) と 7,689 個のリビジョン (FreeBSD) を対象とした。また、この実験では、しきい値を用いて下記の値を用いた。

- 支持度の下限 3
- 確信度の下限 1.0
- 一致箇所数の上限 1

マイニング処理の結果として、HTTPD から 737 個、FreeBSD から 983 個の修正パターンを得た。以降、本章では、これらの修正パターンを用いて、2 章でも示した下記の 2 つの RQ について調査した結果を述べる。

RQ1 同時に行われていない同様の修正がどの程度存在するのか。

RQ2 開発履歴をマイニングすることにより、どの程度の修正漏れを検出できるか。

6.1 RQ1 に対する実験

HTTPD については 145/737 (=19.6%)、FreeBSD については 94/983 (=9.6%) の修正パターンが複数のリビジョ

ンに出現していた。これら 145 個と 94 個の修正パターンについて、手作業でその修正内容を確認し^{*5}、4 つのカテゴリに分類した (表 3)。各カテゴリについて説明する。

バグ修正 バグを取り除くための修正。

リファクタリング リファクタリングのための修正。変数名の変更等の簡単な修正も含む。

機能変更・機能追加 すでに実装された機能の変更や、新機能の追加のための修正。

コメント ソースコード中のコメントに対する修正。主として著作権関係の記述のため。

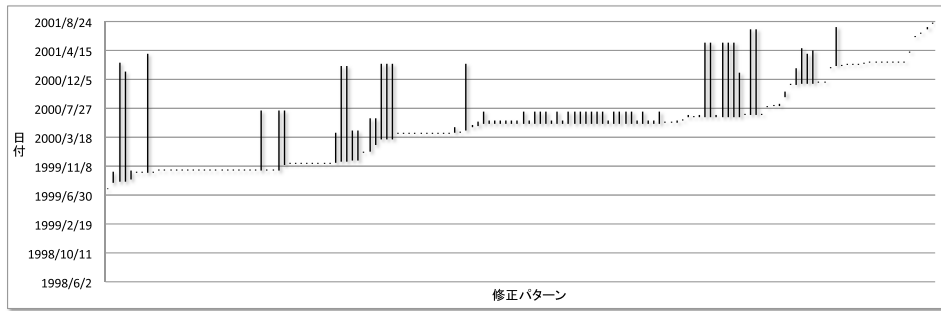
42 個の修正パターンがバグ修正に分類された。これらは、開発者がバグを取り除くために修正しなければならないコード片を見落としていたことを表している。117 個の修正パターンが機能変更・機能追加に分類された。これらも必要な機能が正しく実装されていないリビジョンが存在していたことを表している。61 個の修正パターンがリファクタリングに分類された。大部分は関数名やマクロ名の変更であった。これらはソフトウェアの振舞いに直接影響を与えるわけではないが、ソースコード中に一貫性のないコード片が存在しているという点では望ましくない。19 個の修正パターンがコメントに分類された。すべての修正パターンは、著作権記述部分における西暦の修正漏れであった。著作権情報を正しく記述するという点では、これらも望ましくはない。

図 4 は、複数リビジョンに出現していた 145 個と 94 個の修正パターンの出現期間を表している。横軸には修正パターンが並べられており、縦軸は日付を表している。Y 軸方向の線分の両端は、その修正パターンが現れる最初のリビジョンの日付と最後のリビジョンの日付を表している。たとえば、FreeBSD (図 4(b)) の一番左に配置されている修正パターンは、2009/8/20 に最初に現れ、2010/1/27 に最後に現れている。修正パターンは最初に現れた日付が早

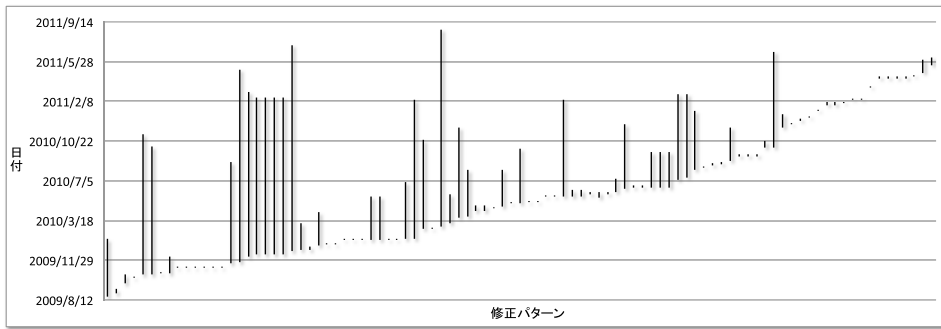
^{*3} <http://svn.apache.org/repos/asf/httpd/httpd/trunk/>

^{*4} <http://svn.freebsd.org/base/head/sys/>

^{*5} 著者らがリポジトリのログ、修正パターン周辺のコード、その後の修正の様子を調査した。



(a) HTTPD



(b) FreeBSD

図 4 RQ1 で抽出した修正パターンの出現期間

Fig. 4 Occurrence periods of extracted modification patterns in RQ1 investigation.

```
write(c->fd,request,reqlen);
if (posting) {
if (posting>0) {
write(c->fd,postdata,postlen);
totalposted += (reqlen + postlen);
}
}
}

```

(a) HTTPD

```
if (ste_newbuf(sc, cur_rx) != 0) {
ifp->if_ierrors++;
ifp->if_lqdrops++;
cur_rx->ste_ptr->ste_status = 0;
continue;
}
}

```

(b) FreeBSD

図 5 最も長期間にわたって現れた修正パターンのソースコード
Fig. 5 Source code of modification patterns occurring longest period.

い順に並べられている。この図より、大部分の対象期間において、少なくとも1つの修正漏れが含まれていることが分かる。具体的には、対象期間のうち、68.1% (HTTPD) および 96.1% (FreeBSD) が該当する。

図 4 より、長期間にわたって出現するパターンも存在していることが分かる。最も長期間にわたって出現していた修正パターンのコードを図 5 に、この修正パターンが出現したリビジョンの情報を表 4 に示す。HTTPD の修正パターン (図 5(a)) では、if 文の条件式が変更されている。FreeBSD の修正パターン (図 5(b)) では、インクリメントする変数を変更されている。これら 2 つの修正パターンはバグ修正に分類された。いずれも軽微な変更ではあるが、最初の修正と最後の修正が 1 年半以上も離れている。

表 4 最も長期間にわたって現れた修正パターン

Table 4 Modification patterns occurring longest period.

(a) HTTPD		
リビジョン	日付	修正されたファイル
83,946	1999-10-08	support/ab.c (2 places)
88,628	2001-04-02	support/ab.c
(b) FreeBSD		
リビジョン	日付	修正されたファイル
200,965	2009-12-25	sys/dev/ste/if_ste.c
213,438	2010-10-05	sys/dev/usb/net/usb_ethernet.c
218,832	2011-02-19	sys/dev/dc/if_dc.c
223,648	2011-06-29	sys/dev/gem/if_gem.c
223,951	2011-07-12	sys/dev/cas/if_cas.c (2 places)

RQ1 に対する回答

以上のことから、RQ1 に対して以下のように回答できる：修正パターンのうちの 19.7%と 9.6%が複数のリビジョンに現れていた。また、これらの修正パターンは、対象期間の 68.1%と 96.1%にまたがって存在していた。

6.2 RQ2 に対する実験

マイニング処理で抽出した 737 個と 983 個の修正パターンを用いて、HTTPD のリビジョン 90,607 と FreeBSD のリビジョン 225,533 から修正漏れコード片を検出した (提案手法の検出処理を行った)。その結果、HTTPD から 18 個、FreeBSD から 94 個のコード片が検出された。これら

表 5 RQ2 の調査で検出した修正漏れ候補の内訳

Table 5 Detected overlooked code fragments in RQ2 investigation.

ソフトウェア	合計	修正漏れと判断				誤検出	適合率
		バグ修正	リファクタリング	機能変更・機能追加	コメント		
HTTPD	18	2	4	10	0	2	88.9%
FreeBSD	94	13	51	2	3	25	73.4%

```

/* phys_avail regions are in bytes */
phys_avail[0] = MIPS_KSEG0_TO_PHYS(kernel_kseg0_end);
phys_avail[1] = ctob(realmem);

dump_avail[0] = phys_avail[0];
dump_avail[1] = phys_avail[1] - phys_avail[0];
dump_avail[1] = phys_avail[1];
physmem = realmem;
    
```

(a) バグ修正

```

ap.fd = uap->fd;
ap.offset = (uap->offsetlo | ((off_t)uap->offsethi << 32));
ap.offset = PAIR32TO64(off_t,uap->offset);
ap.len = (uap->lenlo | ((off_t)uap->lenhi << 32));
return (posix_fallocate(td, &ap));
    
```

(b) リファクタリング

```

if (port < 0) {
    device_printf(ch->dev, "SATA connect timeout status=%08x\n",
        status);
    device_printf(ch->dev,
        "SATA connect timeout time=%dus status=%08x\n",
        timeout * 100, status);
} else {
    
```

(c) 機能変更・機能追加

```

/*
 * Copyright (c) 2005-2010 Pawel Jakub Dawidek <pj4@FreeBSD.org>
 * Copyright (c) 2005-2011 Pawel Jakub Dawidek <pawel@dawidek.net>
 * All rights reserved.
    
```

(d) コメント

図 6 リビジョン 225,533 において見つかった修正漏れの例

Fig. 6 Examples of detected overlooked code fragments in revision 225,533.

すべてのコード片を手作業により調査し、一致した修正パターンの修正後コード片のように変更すべきかどうかを確認した*6。調査の結果を表 5 に示す。

6.2.1 バグ修正漏れ

15 個のバグ修正漏れが検出された。図 6 (a) はその一例である。この修正パターンでは、配列の要素 `dump_avail[1]` の計算方法が変更されている。修正パターンが現れたリビジョンのコミットログには、“dump_avail layout should be sequence of [start, end] pairs, not <start, size>.” と記載されており、この修正パターンがバグ修正であることを表している。FreeBSD のリビジョン 225,533 のファイル `ar71xx.machdep.c` には “*deleted line*” に示す行が存在しており、この行は修正パターンの修正前コード片と一致するため、バグの修正漏れであると判断した。

6.2.2 リファクタリング漏れ

55 個のリファクタリング漏れが検出された。図 6 (b) はその一例である。この修正パターンでは、シフト演算および論理演算を行う式がマクロに変更されている。このマク

*6 著者らがリポジトリのログ、修正パターン周辺のコード、その後の修正の様子から判断した。

ロは、この修正パターンを抽出したリビジョン 205,014 で追加されていた。また、このマクロはこのリファクタリング漏れが検出されたファイルに定義されていた。よって、簡単に置換によるリファクタリングを行える。このコード片は、リビジョン 205,014 において実施したリファクタリング実施時に見落とされたと考えられる。

6.2.3 機能変更・機能追加漏れ

12 個の機能変更・機能追加漏れが検出された。図 6 (c) はその一例である。この修正パターンでは、タイムアウトになった処理時間を表示する機能が追加されている。修正パターンの修正後コード片で出現している変数 `timeout` は、検出されたコード片では利用可能であるため、簡単に機能追加を行える。

6.2.4 コメント修正漏れ

3 個のコメント修正漏れが検出された。図 6 (d) にその一例である。この修正パターンでは、西暦と開発者のメールアドレスが古い情報のままであった。

6.2.5 誤検出

27 個のコード片を誤って検出していた。これらは、手作業による調査により意図的に修正を行っていないと判断された。

RQ2 への回答

以上のことから、RQ2 に対して以下のように回答できる：HTTPD と FreeBSD から、16 個と 69 個の修正漏れを検出できた。HTTPD については 8,229 行あたりに 1 つ、FreeBSD については 51,739 行あたり 1 つの修正漏れが存在していた計算になる。また、検出の精度は 88.8% と 73.4% であった。

6.3 クローン検出ツールとの比較

2 章で述べたように、提案手法の目的はクローン検出手法では検出できない修正漏れを検出することである。その目的が達成されているかを調査するために、クローン検出ツールが RQ2 で検出した修正漏れコード片を検出できるかを調査した。この調査では、CCFinder [5] と Nicad [10] を利用した。これらのツールの特徴を以下に述べる。

CCFinder 字句単位でクローンを検出するツール。変数名や関数名等のユーザ定義名を置換したうえでクローンを検出するため、それらが異なっているコード片でもクローンとして検出できる。つまり、字句レベルでの修正漏れを検出できる。

表 6 CCFinder と Nicad により検出された修正漏れの数

Table 6 Number of overlooked code fragments detected by CCFinder and Nicad.

(a) HTTPD					
手法	合計	バグ修正	リファクタリング	機能変更・機能追加	コメント
提案手法	16	2	4	10	0
CCFinder	2	0	0	2	0
Nicad	2	0	0	2	0

(b) FreeBSD					
手法	合計	バグ修正	リファクタリング	機能変更・変更	コメント
提案手法	69	13	51	2	3
CCFinder	39	1	38	0	0
Nicad	2	1	1	0	0

表 7 CCFinder と Nicad が検出したクローンの数

Table 7 Number of code clones detected by CCFinder and Nicad.

(a) HTTPD		
検出ツール	クローンセット数	クローン数
CCFinder	1,004	3,435
Nicad	117	324

(b) FreeBSD		
検出ツール	クローンセット数	クローン数
CCFinder	47,016	357,353
Nicad	3,871	138,233

Nicad 関数単位やブロック単位^{*7}でクローンを検出するツール。Nicad は、LCS (Longest Common Subsequence) アルゴリズムを用いて連続して字句が一致している部分を検出する。その一致部分が関数やブロック全体の一定以上の割合であれば、その関数やブロックがクローンとして検出される。つまり、Nicad は字句単位だけではなく、より大きな単位の不一致部分が含まれていてもクローンとして検出できる。

この実験では、デフォルトの設定を用いてクローンを検出した。表 6 は、ツールによる修正漏れの検出結果を表している。CCFinder と Nicad ともに、提案手法が検出した修正漏れの大部分を検出できなかった。この理由は、修正漏れの前後に十分な重複コードが存在しておらず、クローンとして検出できなかったためである。

FreeBSD の場合は、CCFinder は 38 個のリファクタリング漏れを検出できた。これらは関数名が変更されたリファクタリングであり、字句単位での修正漏れであるため、CCFinder では検出できた。一方、この部分の重複コードはブロック内における割合が低かったために、Nicad では検出できなかった。

表 7 はツールによって検出されたクローンセット^{*8}と

クローンの数を表している。2つのツールともに多くのクローンを検出した。しかし、表 6 に示すように、修正漏れの多くを検出できなかった。この結果は、クローン検出ツールを用いて効率的に修正漏れを検出するのは難しいことを示唆している。

7. 議論

7.1 diff の利用について

提案手法を実装したツールでは、diff コマンドの出力に現れるコード片を元に修正パターンを検出している。diff コマンドを用いることにより自動的に修正パターンを抽出できるが、単一コミットにおいて異なる複数の修正がソースファイル内の隣接部分に行われていた場合は、その修正全体を1つの修正パターンとして認識してしまう。本論文の実験ではこのような誤った修正パターンの検出については調査できていない。

7.2 正規化について

現在の実装では、空白、タブ、改行文字を取り除く簡単な正規化しか行っていない。そのため、用いている変数は異なるが処理内容自体は同じであるコード片を同値であると判定できない。よって、そのようなコード片に対しては修正漏れの指摘ができない。

すべての変数やリテラルを同一の特別な文字に置き換える正規化を行えば、より多くの修正漏れを検出できるだろう。しかし、そのような正規化を行うためには、ソースファイル全体に対する構文解析を行う必要がある。現在は、svn diff コマンドを用いているため、各リビジョン間において差分の解析を行うコードの量は多くない。よって、大規模なシステムからでも短時間でマイニング処理を行える。すべてのリビジョンのソースファイルをチェックアウトして(手元にダウンロードして)構文解析を行うことも可能であるが、処理時間が著しく長くなってしまう。

^{*7} ここでブロックとは、if 文や while 文のように、関数内での構造的なまとまりのある部分を指す。

^{*8} クローンの集合。1つのクローンセットに含まれる任意のコード片のペアは互いにクローンである。

7.3 コードの“追加”を考慮していない

提案手法は修正パターンの修正前コード片を基に修正漏れを検出する。そのため、修正前コード片の長さが0である、コードの追加が必要な部分を検出することができていない。コードの追加に分類される修正パターンがどの程度存在するのかを調査するために、下記の2つの条件を満たす修正パターンを抽出した。

- 修正前コード片 (CF_{before}) の長さが0。
- 修正後コード片が同値である修正パターンが3つ以上存在する。

抽出の結果、HTTPD から2つ、FreeBSD から6つの修正パターンを得た。このうちの4つはプリプロセッサの `#ifdef` と `#endif` に関する修正パターンであった。残りの4つの修正パターンを以下に示す。

- (1) 変数宣言の追加
- (2) goto 文のラベルの追加
- (3) セマフォをアンロックするためのメソッド呼び出しの追加
- (4) 閉じ中括弧 (“}”) の追加

これらのうち、特に(3)のメソッド呼び出しは修正漏れの検出に利用すべきである。しかし、それ以外の7つについては、特に重要ではないと著者らは考えた。たとえば、(4)の閉じ中括弧の追加忘れはソースコードがコンパイル不可能になるため、容易にその修正漏れを検出できるからである。

追加に関する修正パターンを利用するためには、その周辺コードを用いる方法が考えられる。たとえば、マイニング処理において、修正前コード片の長さが0である場合には、その前後の1行ずつを修正前コード片に含めることで、追加に関する修正パターンを検出処理で利用可能になる。

7.4 手作業による確認作業

この実験では、著者らが検出された修正漏れの確認作業を行った。しかし著者らは対象システムの開発者ではないため、バグ修正やリファクタリング等への分類が誤っている可能性がある。より正確に手法を評価を行うためには、対象システムの開発者に協力していただいて実験を行う必要がある。

7.5 実験で用いたしきい値

本実験では、支持度、確信度、一致箇所数の1つの組合せのみを修正漏れ検出のしきい値として用いた。たとえば、支持度を2にする等、より緩いしきい値を用いることにより、さらに多くの修正漏れが検出される。この実験では著者らが検出された修正漏れを手作業で確認したが、著者らは対象システムの開発者ではないために、確認作業には長い時間を必要とした。RQ1とRQ2で検出された修正漏れを確認するために要した時間は約20時間であり、これ以上

検出数が多い場合には手作業による確認が困難であった。対象システムの開発者がこの確認作業を行った場合には、検出された修正漏れの真偽を素早く判断できるだろう。

7.6 比較対象ツール

この実験では、CCFinder と Nicad のデフォルトの設定を用いてクローンを検出した。しかし、検出する最小のクローンの大きさ等の設定を変更することで検出結果は異なるため、それらのツールがより多くの修正漏れを検出できる可能性がある。また、この実験では、提案手法が検出した修正漏れをクローン検出ツールが検出可能か調査したのみである。しかし、提案手法では検出されないが、クローン検出ツールでは検出される修正漏れも存在するだろう。なぜなら、提案手法は、過去に同様の修正が行われていることを必要とするが、クローン検出ツールは必要としないからである。つまり、本実験の結果と合わせると、提案手法とクローン検出ツールは相補的な関係にあるといえる。

8. おわりに

本論文では、ソースコード中から修正漏れを自動的に検出する手法を提案した。提案手法は、対象ソフトウェアの開発履歴情報を用いているため、検出されるためにはある程度以上の大きな重複コードでなければならない、という既存手法の弱点を持たない [3]。

提案手法をツールとして実装し、オープンソースソフトウェアに対して実験を行った。その結果、多数のバグ修正漏れ、リファクタリング漏れ、機能変更・機能追加漏れ、コメント修正漏れを検出できた。今後は、システムの開発者に協力していただいて実験を行い、ツールの検出結果の正しさをより正確に評価する予定である。また、コードの正規化を工夫し、検出の精度も高めていく予定である。

謝辞 本研究は、日本学術振興会科学研究費補助金基盤研究 (A) (課題番号: 21240002)、萌芽研究 (課題番号: 23650014, 24650011)、若手研究 (A) (課題番号: 24680002) の助成を得た。

参考文献

- [1] Bettenburg, N., Shang, W., Ibrahim, W.M., Adams, B., Zou, Y. and Hassan, A.E.: An empirical study on inconsistent changes to code clones at the release level, *Science of Computer Programming*, Vol.77, No.6, pp.760–776 (online), DOI: 10.1016/j.scico.2010.11.010 (2010).
- [2] Göde, N. and Koschke, R.: Frequency and risks of changes to clones, *Proc. 33rd International Conference on Software Engineering, ICSE '11*, pp.311–320 (online), DOI: <http://doi.acm.org/10.1145/1985793.1985836> (2011).
- [3] Higo, Y. and Kusumoto, S.: How Often Do Unintended Inconsistencies Happen? – Deriving Modification Patterns and Detecting Overlooked Code Fragments, *Proc. 28th International Conference on Software Main-*

- tenance, *ICSM '12*, pp.222–231 (2012).
- [4] 泉田聡介, 植田泰士, 神谷年洋, 楠本真二, 井上克郎: ソフトウェア保守のための類似コード検索ツール, 電子情報通信学会論文誌, Vol.86-D-I, No.12, pp.906–908 (2003).
- [5] Kamiya, T., Kusumoto, S. and Inoue, K.: CCFinder: A Multilinguistic Token-Based Code Clone Detection System for Large Scale Source Code, *IEEE Trans. Softw. Eng.*, Vol.28, pp.654–670 (online), DOI: <http://doi.ieeecomputersociety.org/10.1109/TSE.2002.1019480> (2002).
- [6] Kim, M., Sazawal, V., Notkin, D. and Murphy, G.: An empirical study of code clone genealogies, *Proc. 10th European Software Engineering Conference Held Jointly with 13th ACM SIGSOFT International Symposium on Foundations of Software Engineering, ESEC/FSE-13*, pp.187–196 (online), DOI: <http://doi.acm.org/10.1145/1081706.1081737> (2005).
- [7] Li, Z., Lu, S., Myagmar, S. and Zhou, Y.: CP-Miner: Finding Copy-Paste and Related Bugs in Large-Scale Software Code, *IEEE Trans. Softw. Eng.*, Vol.32, pp.176–192 (online), DOI: <http://doi.ieeecomputersociety.org/10.1109/TSE.2006.28> (2006).
- [8] 森崎修司, 吉田則裕, 肥後芳樹, 楠本真二, 井上克郎, 佐々木健介, 村上浩二, 松井 恭: コードクローン検索による類似不具合検出の実証的評価, 電子情報通信学会論文誌 D, Vol.J91-D, No.10, pp.2466–2477 (2008).
- [9] Rahman, F., Bird, C. and Devanbu, P.T.: Clones: What is that smell?, *Proc. 7th International Working Conference on Mining Software Repositories, MSR 2010*, pp.72–81 (2010).
- [10] Roy, C.K. and Cordy, J.R.: NICAD: Accurate Detection of Near-Miss Intentional Clones Using Flexible Pretty-Printing and Code Normalization, *Proc. 2008 The 16th IEEE International Conference on Program Comprehension, ICPC '08*, Washington, DC, USA, pp.172–181 (online), DOI: [10.1109/ICPC.2008.41](http://doi.ieeecomputersociety.org/10.1109/ICPC.2008.41) (2008).
- [11] Ying, A.T.T., Murphy, G.C., Ng, R. and Chu-Carroll, M.C.: Predicting Source Code Changes by Mining Change History, *IEEE Trans. Softw. Eng.*, Vol.30, pp.574–586 (online), DOI: [10.1109/TSE.2004.52](http://doi.ieeecomputersociety.org/10.1109/TSE.2004.52) (2004).



楠本 真二 (正会員)

1965年生。1988年大阪大学基礎工学部卒業。1991年同大学大学院博士課程中退。同年同大学基礎工学部助手。1996年同講師。1999年同助教授。2002年同大学大学院情報科学研究科助教授。2005年同教授。博士(工学)。

ソフトウェアの生産性や品質の定量的評価に関する研究に従事。電子情報通信学会, IEEE, IFPUG 各会員。



肥後 芳樹 (正会員)

1980年生。2002年大阪大学基礎工学部情報科学科中退。2006年同大学大学院博士後期課程修了。2007年同大学院情報科学研究科コンピュータサイエンス専攻助教。博士(情報科学)。

ソースコード分析, 特にコードクローン分析, リファクタリング支援およびソフトウェアリポジトリマイニングに関する研究に従事。電子情報通信学会, 日本ソフトウェア科学会, IEEE 各会員。